

高糖对小鼠足细胞(原)肾素受体表达的影响

杜然 丁国华 任志龙 梁伟 陈星华 刘以鹏

摘要 目的 体外观察高糖刺激肾小球足细胞后(原)肾素受体(prorenin receptor, PRR)的表达变化,及PRR对足细胞凋亡的影响。**方法** 条件永生性小鼠足细胞用35mmol/L高糖刺激不同时间(0、1、3、6、12h),用不同浓度葡萄糖[35mmol/L甘露醇对照组、正常对照组(含5mmol/L葡萄糖)、10、20、35mmol/L组]刺激3h,Western blot及real-time PCR技术检测PRR的蛋白和mRNA表达;再将细胞分为35mmol/L高糖组、PRR的多肽阻断剂柄区肽(handle region peptide, HRP)(10^{-6} mol/L)预处理组、氯沙坦(10^{-6} mol/L)预处理组、HRP+氯沙坦预处理组,流式细胞仪法检测足细胞凋亡率。**结果** (1)35mmol/L高糖刺激3、6、12h细胞PRR蛋白及mRNA表达较正常对照细胞显著上调($P < 0.05$)。(2)20mmol/L与35mmol/L浓度葡萄糖刺激足细胞PRR蛋白及mRNA表达较正常对照和甘露醇刺激细胞显著升高($P < 0.05$)。(3)氯沙坦、HRP及HRP+氯沙坦预处理细胞凋亡率较35mmol/L高糖刺激细胞显著降低($P < 0.05$),HRP+氯沙坦预处理细胞凋亡率较氯沙坦预处理细胞降低($P < 0.05$)。**结论** 高糖刺激足细胞可通过上调PRR导致足细胞凋亡。

关键词 高糖 足细胞 (原)肾素受体 柄区肽 凋亡

Expression of Prorenin Receptor in High Glucose - stimulated Podocytes Du Ran, Ding Guohua, Ren Zhilong, et al. Division of Nephrology, Renmin Hospital of Wuhan University, Hubei 430060, China

Abstract Objective To study the expression of prorenin receptor (PRR) in high glucose - stimulated podocytes, and the influence of PRR on podocytes apoptosis. **Methods** Immortalized mouse podocytes were stimulated with 35mmol/L high glucose at different time lengths (0, 1, 3, 6 and 12h) and in various conditions as 35mmol/L mannitol group, control group and 10, 20, 35mmol/L glucose group for 3 h. Expression of PRR was detected by Western blot and real - time PCR. Then divided podocytes into 35mmol/L high glucose group、HRP(10^{-6} mol/L) group、Losartan(10^{-6} mol/L) group、HRP + Losartan group to detect apoptosis rate. **Results** (1) The level of PRR protein and mRNA in 3, 6, 12h group were significantly increased compare with the control group ($P < 0.05$). (2) The level of PRR protein and mRNA in 20, 35mmol/L glucose group were significantly increased compare with the control and 35mmol/L mannitol group ($P < 0.05$). (3) Compare with the 35mmol/L high glucose group, the apoptosis rate in HRP, Losartan and HRP + Losartan group were significantly decreased ($P < 0.05$). The apoptosis rate in HRP, HRP + Losartan group were significantly decreased when compared to Losartan group ($P < 0.05$). **Conclusion** High glucose stimulate podocytes can induce the podocyte apoptosis through overexpression of PRR.

Key words High glucose; Podocytes; Prorenin receptor; HRP; Apoptosis

肾素-血管紧张素系统(renin-angiotensin system, RAS)异常激活在糖尿病肾病发生发展过程中发挥重要作用,阻断RAS系统的有效成分是治疗糖尿病肾病的重要措施之一^[1,2]。2002年(原)肾素受体(prorenin receptor, PRR)被发现,人们对RAS有了进一步的认识^[3]。传统观念认为肾素和(或)原肾素与PRR结合后可诱导其自身活化,并促使血管紧张素原向Ang I、II转化,即Ang II依赖性信号途径,而PRR本身不发挥生物学效应。但随着研究的深入,

人们发现PRR还能激活细胞内非Ang II依赖性信号途径,其本身在介导肾脏病理损伤也中发挥重要作用^[4]。为探讨PRR变化与糖尿病肾病之间的联系,本文模拟体外高糖环境,研究足细胞中PRR的表达变化,及其对足细胞凋亡的影响。

材料与方法

1. 材料:条件永生性的小鼠足细胞(美国纽约Mount Sinai医学院Peter Mundel教授惠赠),小鼠重组γ干扰素(Sigma公司),D-葡萄糖(国药集团化学试剂有限公司),兔抗小鼠PRR多克隆抗体、鼠抗β-action单克隆抗体、氯沙坦(美国Santa Cruz),BCA蛋白质定量试剂盒(上海申能博彩生物科技有限公司),实时定量PCR试剂盒(日本Toyobo),HRP(上海吉尔生化有限公司)。

基金项目:国家自然科学基金资助项目(81270762)

作者单位:430060 武汉大学人民医院肾内科

通讯作者:丁国华,电子信箱:ghxdng@gmail.com

2. 细胞培养与分组:未分化足细胞用含 10U/ml γ 干扰素的培养基在 5% CO₂、33℃ 培养孵育箱传代培养,待达 70% 融合时,换用 37℃ 培养基(不含 γ 干扰素),转入 37℃,5% CO₂ 培养孵育箱分化培养 10~14 天,刺激前改用无血清培养基同步化 12h。实验分组:①35mmol/L 高糖刺激不同时间(0、1、3、6、12h);②不同浓度葡萄糖[35mmol/L 甘露醇对照组、正常对照组(含 5mmol/L 葡萄糖)、10、20、35mmol/L 组]刺激 3h;③ 35mmol/L 高糖组、HRP(10⁻⁶ mol/L) 预处理组、氯沙坦(10⁻⁶ mol/L) 预处理组、HRP + 氯沙坦预处理组刺激 3h。收集细胞用于提取蛋白、mRNA 及检测凋亡率。

3. Western blot: 收集各组细胞提取总蛋白,BCA 法测定蛋白浓度。每孔 40 μ g 蛋白行聚丙烯酰胺凝胶电泳,恒流转膜,5% 脱脂奶粉 TBST 溶液室温封闭 2h, 分别用一抗(兔抗 PRR 多克隆抗体 1:200、鼠抗 β -actin 单克隆抗体 1:1000)4℃ 孵育过夜。TBST 洗膜, 辣根过氧化物酶标记的二抗室温孵育 1h, TBST 溶液洗膜。用 ECL 试剂显色, 感光胶片曝光、显影、定影, 凝胶成像分析系统测量行吸光度扫描, 目的蛋白/ β -actin 比值表示相对含量。

4. real-time PCR: 细胞总 RNA 提取按 Trizol 试剂说明书方法进行。每个样本取 4 μ g 总 RNA 行反转录。实时定量 PCR 反应条件:95℃ 预变性 5min, 94℃ 15s, 58℃ 15s, 45℃ 30s, 35 个循环, 72℃ 延伸 10min。PRR 引物: 上游引物: 5'-GGG AAGCGT TAT GGAG -3'; 下游引物: 5'- CGC AAG GTT GTA GGGA -3'。 β -actin 引物: 上游引物: 5'- GTC CACCG-CAAATGCTTCTA -3'; 下游引物: 5'- TGCTGTCACCTTCAC-CGTTCA -3'。然后以 β -actin 为管家基因, 计算目的基因的相对表达水平。

5. Annexin - PI 流式细胞仪法: 胰酶消化收集细胞悬液, PBS 洗涤离心后重悬与 250 μ l 预冷结合缓冲液, 调整细胞数后移至离心管, 分别加入 5ml FITC - Annexin V 和 10 μ l PI, 室温避光孵育后加入 400 μ l 结合缓冲液中止反应, 流式细胞仪检测凋亡率。

6. 统计学方法: 采用 SPSS 13.0 统计软件分析。数据以均数 \pm 标准差 ($\bar{x} \pm s$) 表示。参数资料采用 One-way ANOVA 分析, 组间比较采用 LSD 法, $P < 0.05$ 为差异有统计学意义。

结 果

1. 高糖对足细胞 PRR 蛋白表达的影响: 35mmol/L 高糖刺激 3、6、12h 细胞 PRR 蛋白表达较正常对照细胞显著上调 ($P < 0.05$) (图 1)。20mmol/L 与 35mmol/L 浓度葡萄糖刺激足细胞 PRR 蛋白表达较正常对照和甘露醇刺激细胞显著升高 ($P < 0.05$) (图 2)。

2. 高糖对 PRR mRNA 表达的影响: 35mmol/L 高糖刺激 3、6、12h 细胞 PRR mRNA 表达较正常对照细胞显著上调 ($P < 0.05$) (图 3)。20mmol/L 与

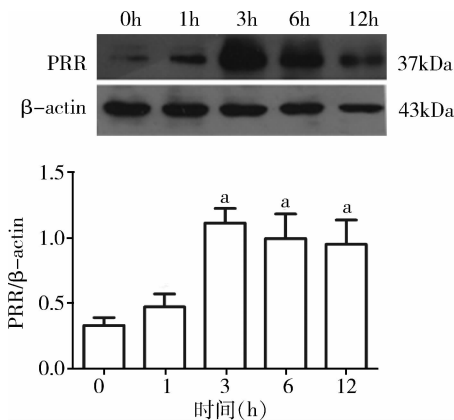


图 1 35mol/L 葡萄糖刺激不同时间后各组细胞 PRR 表达的变化

与 0h 组比较, ^a $P < 0.05$

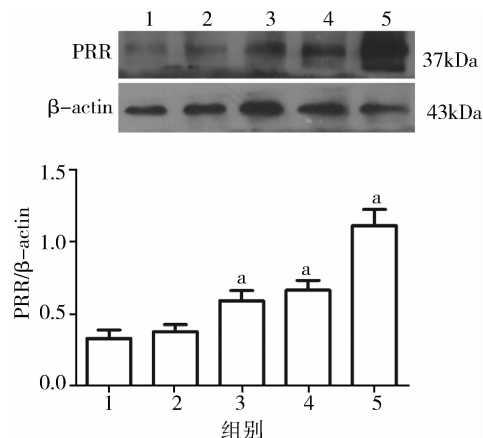


图 2 不同浓度葡萄糖刺激足细胞后各组 PRR 表达的变化

1. 35mol/L 甘露醇对照组; 2. 正常对照组; 3. 10mmol/L 葡萄糖组; 4. 20mmol/L 高糖组; 5. 35mmol/L 高糖组。与正常对照组比较, ^a $P < 0.05$

35mmol/L 浓度葡萄糖刺激足细胞 PRR mRNA 表达较正常对照和甘露醇刺激细胞显著升高 ($P < 0.05$) (图 4)。

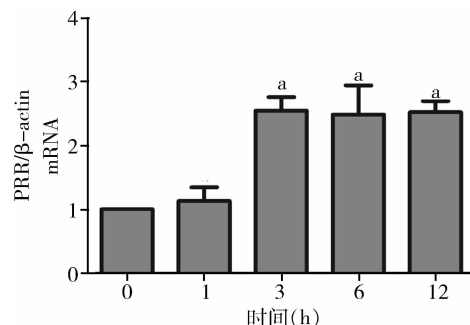


图 3 35mol/L 葡萄糖刺激不同时间后各组细胞 PRR mRNA 表达的变化

与 0h 组比较, ^a $P < 0.05$

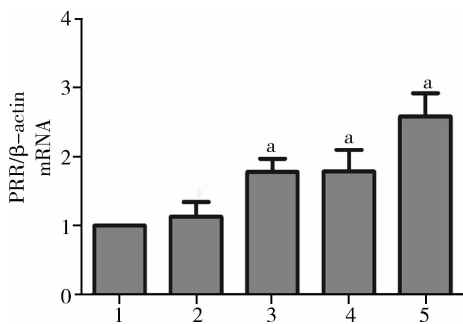


图 4 不同浓度葡萄糖刺激 3h 后各组 PRR 的 mRNA 变化

1. 正常对照组; 2. 35 mol/L 甘露醇对照组; 3. 10 mmol/L 组;
4. 20 mmol/L 组; 5. 35 mmol/L 组。与正常对照组比较, ^a $P < 0.05$

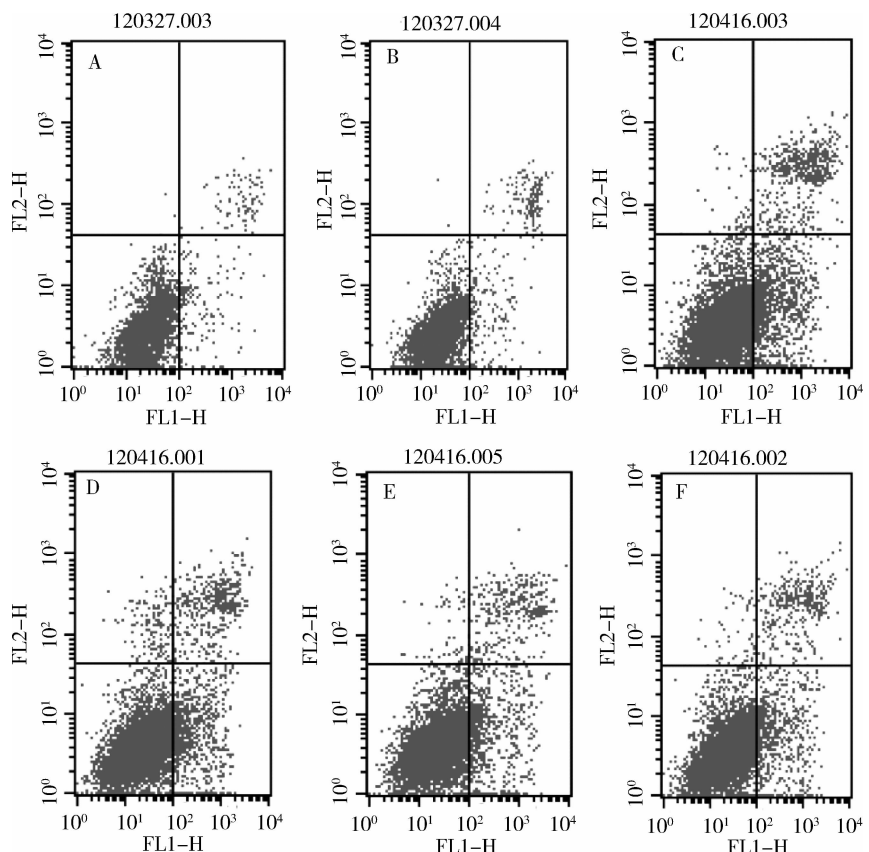


图 5 各组足细胞凋亡率散点图

A. 35 mol/L 甘露醇对照组; B. 正常对照组; C. 35 mmol/L 高糖组; D. HRP 组; E. 氯沙坦组; F. 氯沙坦 + HRP 组

PRR 是由 ATP6AP2 (ATPase 6 accessory protein2)/PRR 基因编码的一种 350 个氨基酸组成跨膜蛋白, 在心脏、大脑、胰脏、肝脏以及肾脏等重要脏器均有表达^[7,8]。既往研究表明, PRR 在糖尿病患者及大鼠的肾脏中表达上调^[9]。Takahashi 等^[10]运用免疫组织化学技术, 证实在糖尿病引起终末期肾脏病患者的肾脏中, PRR 表达上调, 但主要在肾小管细胞

3. 足细胞的凋亡率: 氯沙坦及 HRP + 氯沙坦预处理细胞凋亡率较 35 mmol/L 高糖刺激细胞显著降低 ($P < 0.05$), HRP + 氯沙坦预处理细胞凋亡率较氯沙坦预处理细胞降低 ($P < 0.05$) (图 5、表 1)。

讨 论

既往人们对 RAS 的研究主要集中在调节水盐平衡的循环 RAS 上, 近年研究发现, 局部组织细胞内亦存在 RAS。局部 RAS 各成分, 如 PRR、血管紧张素 II 等的浓度都远较循环高^[5]。研究发现, 高糖刺激足细胞后局部 RAS 系统的活化可导致糖尿病肾病足细胞损伤及丢失^[6]。

中。Cheng 等^[11]研究发现高糖刺激过表达环氧化酶 2 的足细胞可上调(原)肾素受体表达。本实验采用 Western blot 及 real - time PCR 技术证明足细胞中存在 PRR 表达, 高糖作用下, 足细胞中 PRR 表达显著上调, 与既往研究不同的是, 本实验发现足细胞 PRR 表达上调呈时间浓度依赖性, 蛋白表达在 3h 达高峰, mRNA 表达时间上虽无明显峰值, 但仍呈上升趋势。

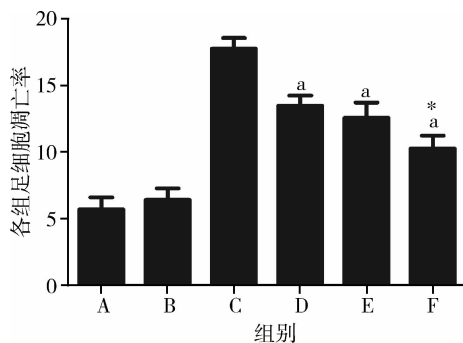


图 6 各组足细胞凋亡率

A. 35 mol/L 甘露醇对照组; B. 正常对照组; C. 35 mmol/L 高糖组;
D. HRP 组; E. 氯沙坦组; F. 氯沙坦 + HRP 组。与 35 mmol/L 高糖组相比, ^a $P < 0.05$; 与氯沙坦组相比, * $P < 0.05$

研究表明, PRR 的表达上调可能与 Ang II 1 型受体亚型、还原型辅酶 II (NADPH) 的氧化活性增高及高糖激活 MAPK 途径相关, 上调的具体机制尚待进一步研究^[12]。

PRR 多肽阻断剂柄区肽 (handle region peptide, HRP) 是 1 个包含肾素原柄区氨基酸序列的 10 肽, 其能阻断肾素(原)与 PRR 相结合, Takahashi 等研究发现, 长期使用 HRP 治疗糖尿病大鼠, 能减少大鼠的蛋白尿并完全阻断肾小球硬化^[13,14]。且同时使用 Ang II 1 型受体亚型阻断剂和 HPR 治疗糖尿病大鼠, 与单用其中一种药物治疗相比, 疗效更为显著^[15]。本实验模拟体外高糖环境, 发现 HRP 能显著降低足细胞的凋亡率, 联合使用 HPR 及氯沙坦比单用氯沙坦能更显著降低足细胞凋亡率, 我们认为, 高糖刺激足细胞上调 PRR 表达, PRR 与肾素(原)结合后, PRR 胞内段的酪氨酸、丝氨酸残基磷酸化, 从而引发 MAPK (mitogenactivated protein kinases) 途径包括细胞外信号调节激酶 1 和 2 (extracellular signal regulated kinases 1 and 2, ERK1/2)、P38、JNK 和热休克蛋白 27 的磷酸化和活化, 通过激活细胞内 Ang II 依赖性及非 Ang II 依赖性两种信号途径导致足细胞凋亡, 具体机制尚待进一步研究。

综上所述, 小鼠足细胞中存在 PRR 的表达, 高糖刺激后足细胞内 PRR 异常增高, 其可能在糖尿病肾病时高糖致足细胞损伤、丢失的病理过程中发挥重要作用, 为临床糖尿病肾病足细胞病变的防治提供新的思路和借鉴。

参考文献

- Shah IM, Mackay SP, McKay GA. Therapeutic strategies in the treatment of diabetic nephropathy – a translational medicine approach [J]. Curr Med Chem, 2009, 16(8): 997–1016
- Sarafidis PA, Bakris GL. Renin – angiotensin blockade and kidney disease [J]. Lancet, 2008, 372(9638): 511–512
- Nguyen G, Delarue F, Burckle C, et al. Pivotal role of the renin/prorenin receptor in angiotensin II production and cellular responses to renin [J]. J Clin Invest, 2002, 109(11): 1417–1427
- Ichihara A. The cutting – edge of medicine; (Pro) renin receptor and renal disease [J]. Nihon Naika Gakkai Zasshi, 2012, 101(8): 2310–2315
- Nguyen G, Muller DN. The biology of the (pro) renin receptor [J]. J Am Soc Nephrol, 2010, 21(1): 18–23
- Durvasula RV, Shankland SJ. Activation of a local renin angiotensin system in podocytes by glucose [J]. Am J Physiol Renal Physiol, 2008, 294(4): F830–F839
- Nabi AH, Biswas KB, Arai Y, et al. (Pro) renin receptor and prorenin: their plausible sites of interaction [J]. Front Biosci, 2012, 17: 389–395
- Nguyen G, Contrepas A. Physiology and pharmacology of the (pro) renin receptor [J]. Curr Opin Pharmacol, 2008, 8(2): 127–132
- Pereira LG, Arnoni CP, Maquigussa E, et al. (Pro) renin receptor: another member of the system controlled by angiotensin II? [J]. J Renin Angiotensin Aldosterone Syst, 2012, 13(1): 1–10
- Takahashi K, Yamamoto H, Hirose T, et al. Expression of (pro) renin receptor in human kidneys with end – stage kidney disease due to diabetic nephropathy [J]. Peptides, 2010, 31(7): 1405–1408
- Cheng H, Fan X, Moeckel GW, et al. Podocyte COX – 2 exacerbates diabetic nephropathy by increasing podocyte (pro) renin receptor expression [J]. J Am Soc Nephrol, 2011, 22(7): 1240–1251
- Siragy HM, Huang J. Renal (pro) renin receptor upregulation in diabetic rats through enhanced angiotensin AT1 receptor and NADPH oxidase activity [J]. Exp Physiol, 2008, 93(5): 709–714
- Ichihara A, Hayashi M, Kaneshiro Y, et al. Inhibition of diabetic nephropathy by a decoy peptide corresponding to the "handle" region for nonproteolytic activation of prorenin [J]. J Clin Invest, 2004, 114(8): 1128–1135
- Takahashi H, Ichihara A, Kaneshiro Y, et al. Regression of nephropathy developed in diabetes by (Pro) renin receptor blockade [J]. J Am Soc Nephrol, 2007, 18(7): 2054–2061
- Seki Y, Ichihara A, Mizuguchi Y, et al. Add – on blockade of (pro) renin receptor in imidapril – treated diabetic SHRsp [J]. Front Biosci (Elite Ed), 2010, 2: 972–979

(收稿日期:2012-11-07)

(修回日期:2012-11-14)